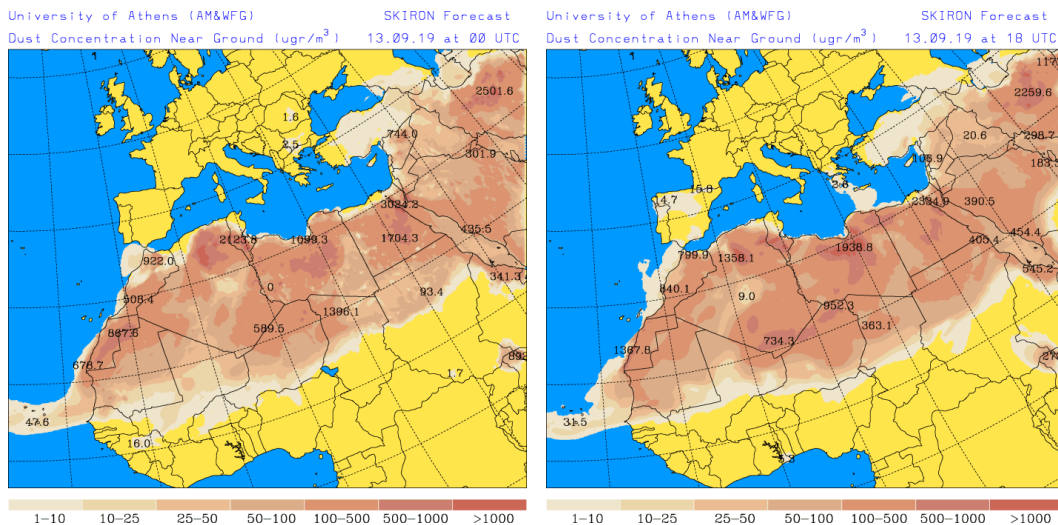


Predicción de intrusión de masas de aire africano sobre España, para el día 13 de septiembre de 2019

Durante el día 13 de septiembre se prevé que puedan aumentar las concentraciones de polvo mineral en zonas de la mitad S peninsular. En consecuencia se podrían registrar valores en el rango 10-320 $\mu\text{g}/\text{m}^3$ a lo largo de todo el día. En zonas aisladas del centro y del tercio N peninsular así como de las islas Canarias, también podrían registrarse por la tarde valores en el rango 10-80 $\mu\text{g}/\text{m}^3$. Además se podrán producir eventos de depósito húmedo de polvo en zonas del SE y del Levante peninsular y de las islas baleares durante todo el día y en zonas del SO y del centro peninsular por la tarde. A partir del mediodía también podrían producirse episodios de depósito seco de polvo en zonas del tercio norte peninsular.

13 de septiembre de 2019

Concentración de polvo ($\mu\text{g}/\text{m}^3$) predicha por el modelo Skiron para el día 13 de septiembre de 2019 a las 00 (izquierda) y a las 18 UTC (derecha). © Universidad de Atenas.



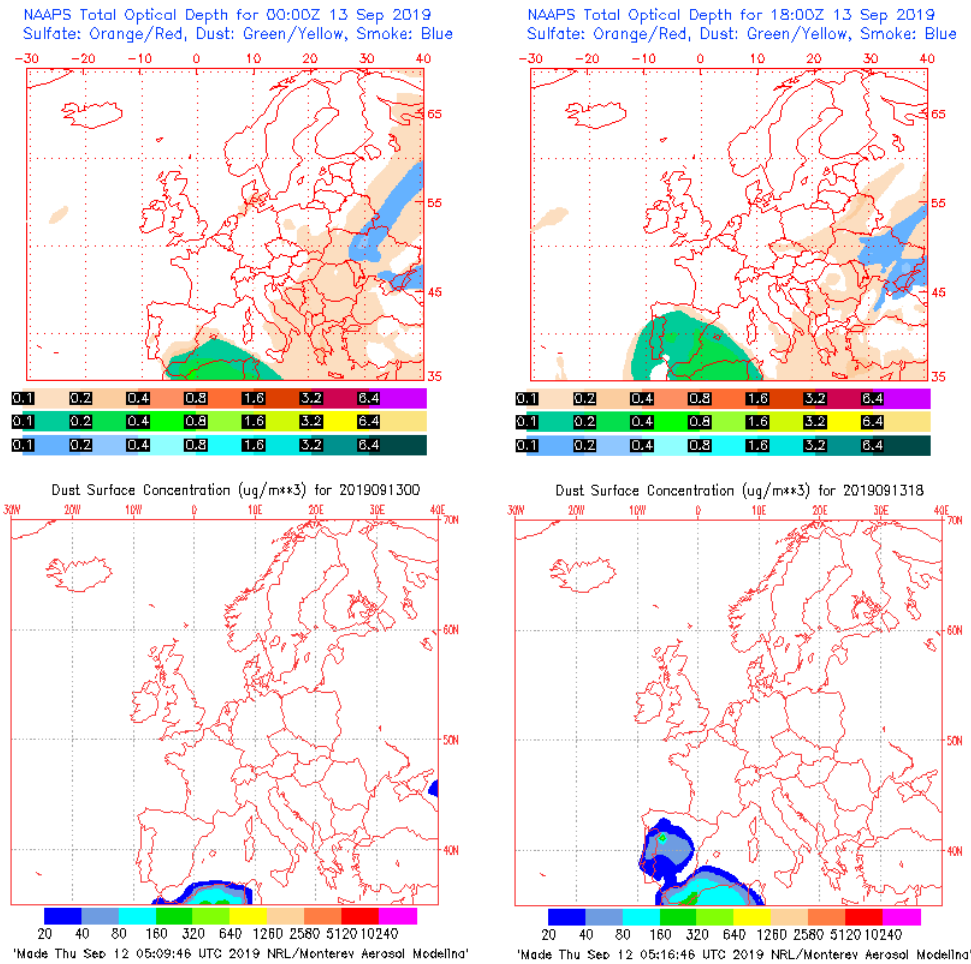
El modelo Skiron prevé para la tarde del día 13 de septiembre concentraciones de polvo en el rango 10-25 $\mu\text{g}/\text{m}^3$ en zonas del SE y de la mitad N peninsular.

El modelo NAAPS prevé que por la tarde se puedan registrar concentraciones de polvo en el rango 20-40 $\mu\text{g}/\text{m}^3$ en zonas del SO peninsular y en el rango 20-80 $\mu\text{g}/\text{m}^3$ en zonas del centro y de Levante.

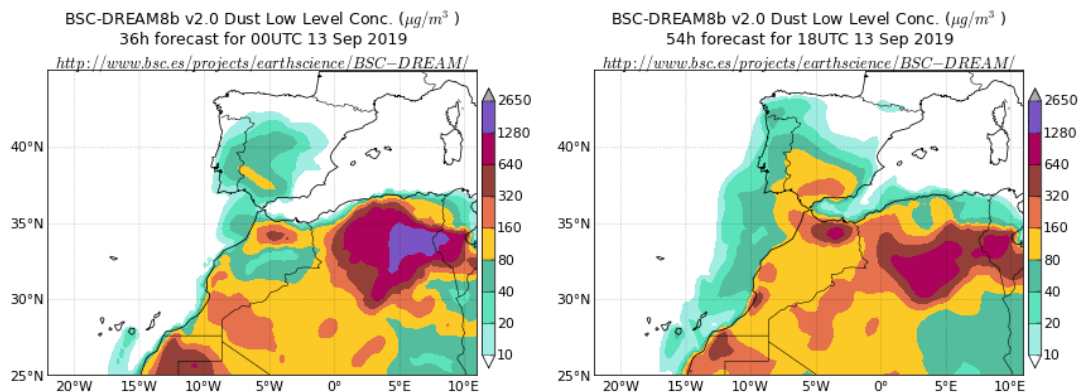
El modelo BSC-DREAM8b v2.0 prevé que por la mañana se puedan registrar concentraciones de polvo mineral en el rango 20-40 $\mu\text{g}/\text{m}^3$ en zonas del centro peninsular y en el rango 20-160 $\mu\text{g}/\text{m}^3$ en zonas del SO. Por la tarde las concentraciones de polvo en la mitad S de la Península podrían alcanzar valores en el rango 40-320

$\mu\text{g}/\text{m}^3$ mientras que en las islas Canarias y en zonas del NO peninsular se podrían alcanzar niveles de polvo entre 10 y $40 \mu\text{g}/\text{m}^3$.

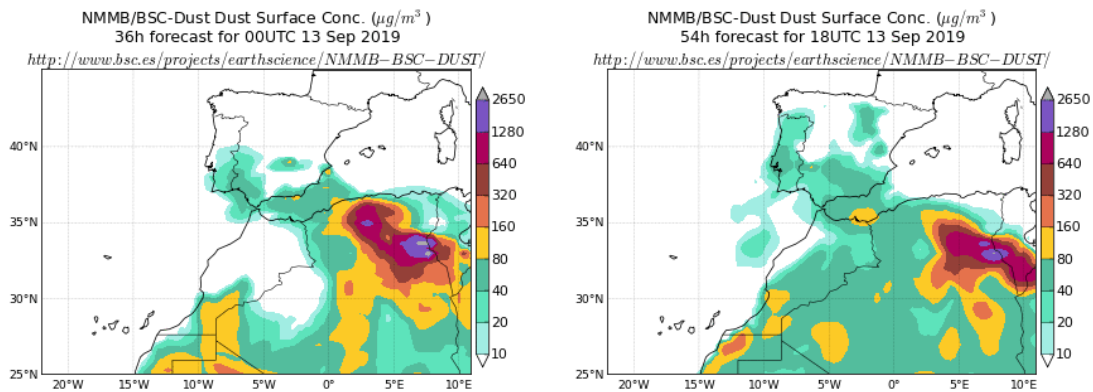
Espesor óptico de aerosoles a 550 nm (arriba) y concentración de polvo a nivel de superficie (abajo) previstos por el modelo NAAPS para el día 13 de septiembre de 2019 a las 00 (izquierda) y a las 18 (derecha) UTC. ©Naval Research Laboratory (NRL), Monterey, CA



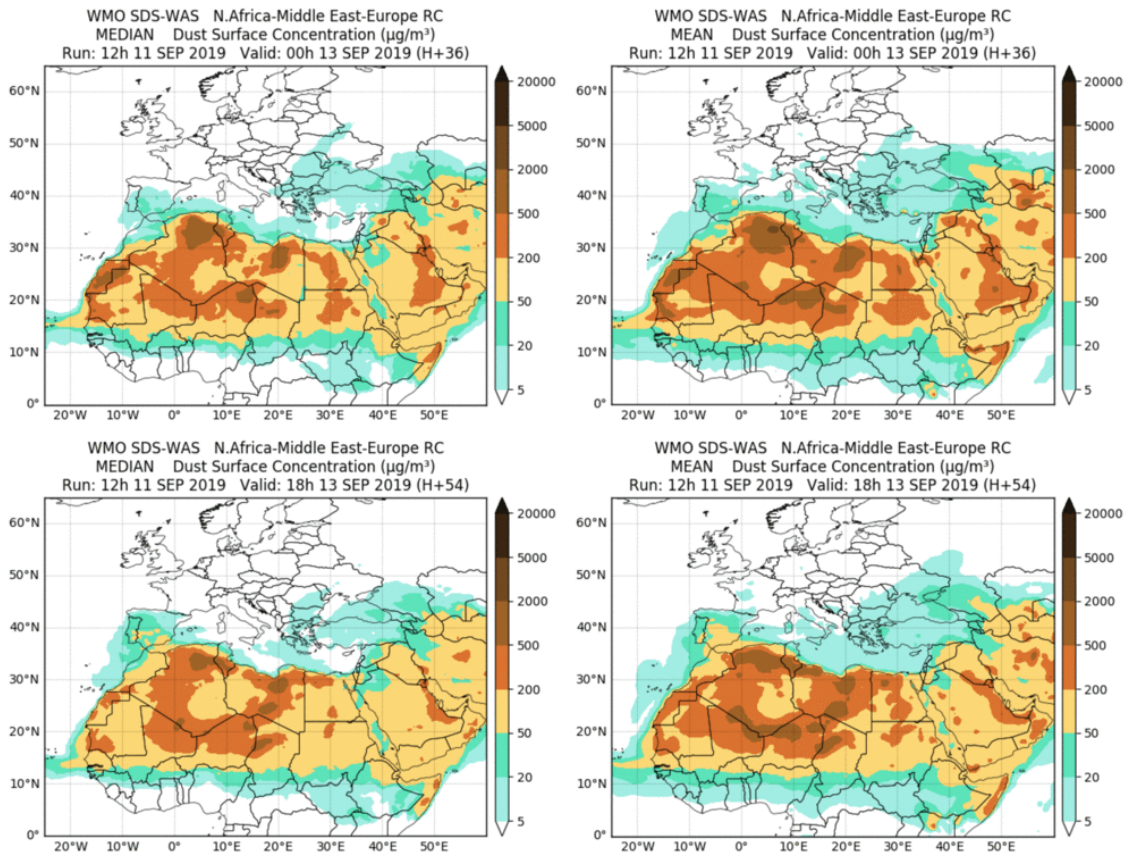
Concentración de polvo ($\mu\text{g}/\text{m}^3$) predicha por el modelo BSC-DREAM8b v2.0 para el día 13 de septiembre de 2019 a las 00 (izquierda) y a las 18 UTC (derecha). © Barcelona Supercomputing Center.



Concentración de polvo ($\mu\text{g}/\text{m}^3$) predicha por el modelo NMMB/BSC-Dust para el día 13 de septiembre de 2019 a las 00 (izquierda) y a las 18 UTC (derecha). © Barcelona Dust Forecast Center.



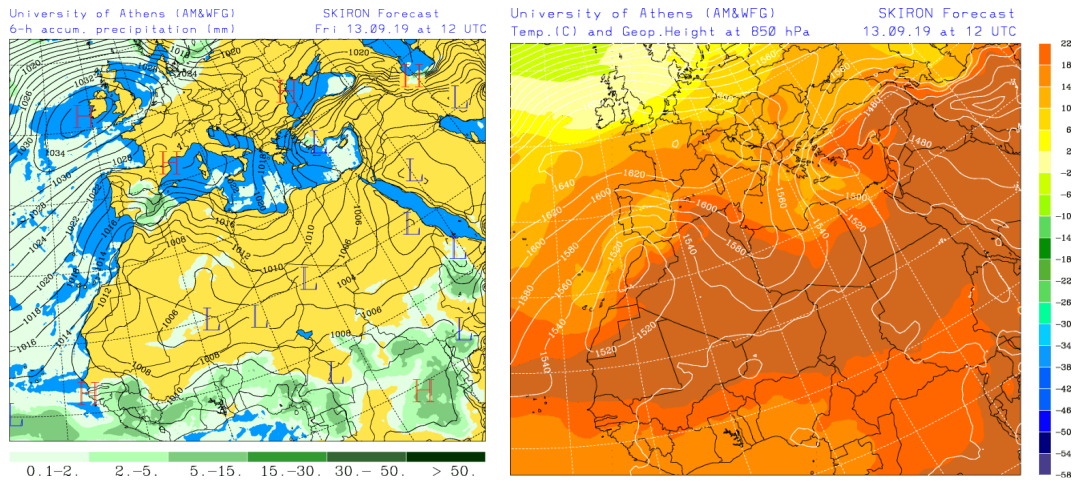
Resultados de la comparación de múltiples modelos de predicción de concentración de polvo (Mediana y Media en $\mu\text{g}/\text{m}^3$) para el día 13 de septiembre de 2019 a las 00h UTC (fila superior) y a las 18h UTC (fila inferior). Esta comparación es realizada diariamente por el Centro Regional de la Organización Meteorológica Mundial (OMM) del Sistema de Evaluación y Avisos de Tormentas de Polvo y Arena para el Norte de África, Oriente Medio y Europa (SDS-WAS NAMEE RC; Sand and Dust Storm Warning Advisory and Assessment System Regional Center for Northern Africa, Middle East and Europe, <http://sds-was.aemet.es>). Dicho centro es gestionado conjuntamente por la Agencia Estatal de Meteorología (AEMET; <http://www.aemet.es/>) y el Barcelona Supercomputing Center-Centro Nacional de Supercomputación (BSC, <https://www.bsc.es/>).



El modelo NMMB/BSC-Dust prevé concentraciones de polvo mineral en el rango 10-80 $\mu\text{g}/\text{m}^3$ en zonas de la mitad S peninsular durante todo el día y en zonas de Levante y del NE peninsular por la tarde del día 13 de septiembre.

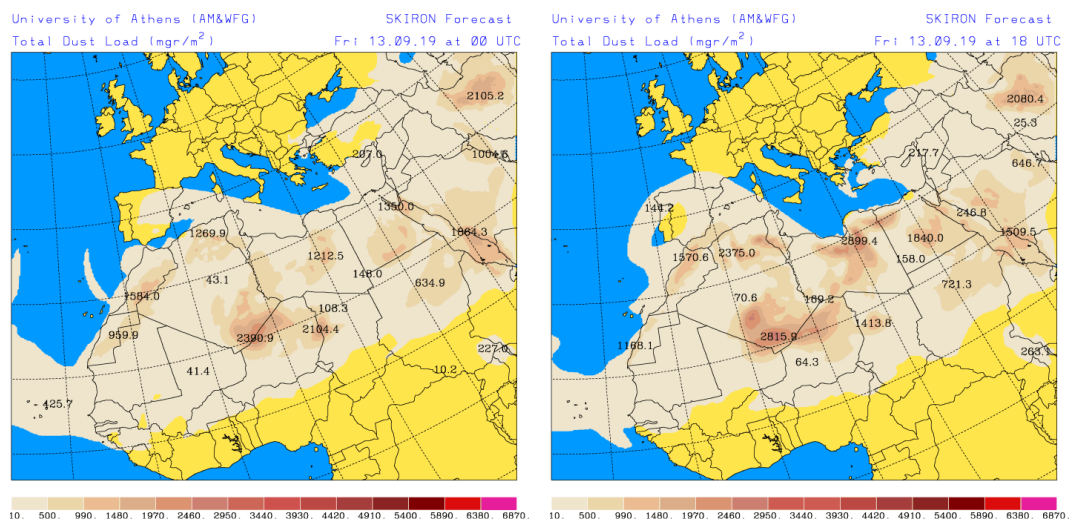
Los resultados de la intercomparación de modelos prevén niveles medios de concentración de polvo en el rango 20-50 $\mu\text{g}/\text{m}^3$ en zonas de la mitad sur peninsular por la mañana, que podrían aumentar hasta valores en el rango 20-200 $\mu\text{g}/\text{m}^3$ por la tarde.

Campo de presión a nivel del mar (mb) y de precipitación (mm) (izquierda) y de temperaturas ($^{\circ}\text{C}$) y de altura de geopotencial (m) a 850 hPa (derecha) previsto por el modelo Skiron para el día 13 de septiembre de 2019 a las 12 UTC. © Universidad de Atenas.



La previsible presencia de bajas presiones sobre el norte de Marruecos, unido a la formación de una vaguada sobre Túnez, Libia y el este de Argelia producirá el transporte de masas de aire de origen africano sobre la Península Ibérica y las islas Baleares.

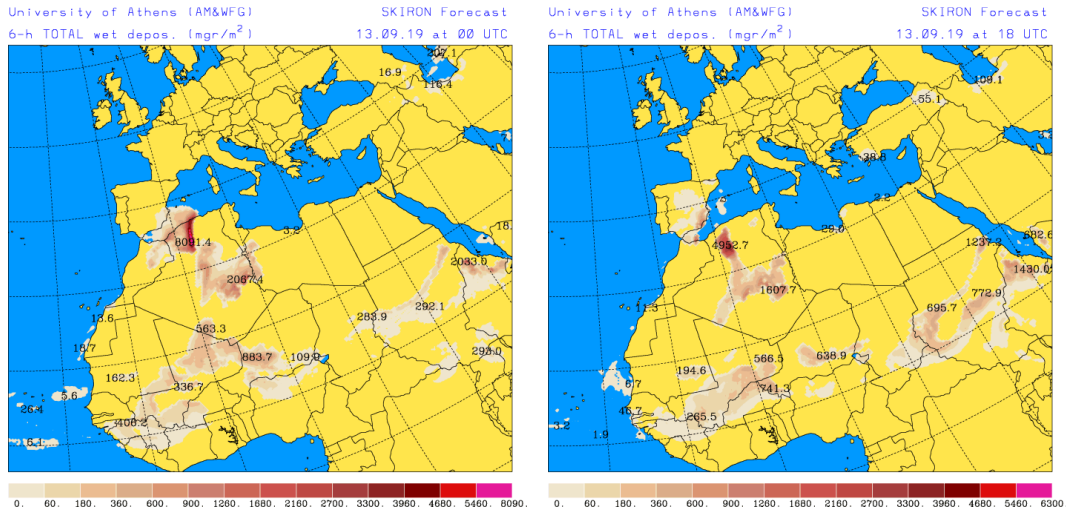
Carga total de polvo (mgr/m^2) predicha por el modelo Skiron para el día 13 de septiembre de 2019 a las 00 (izquierda) y a las 18 UTC (derecha). © Universidad de Atenas.



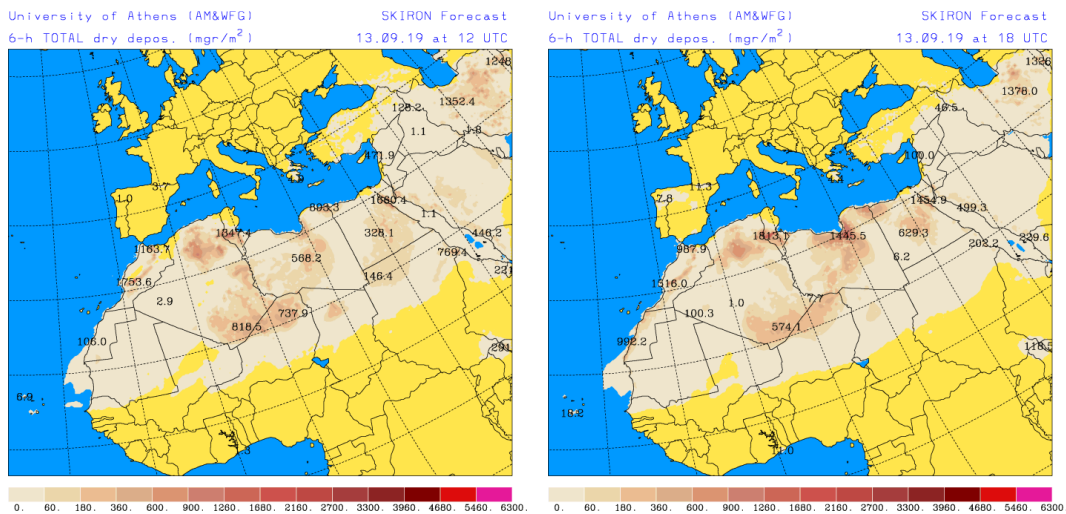
Se prevé que puedan producirse eventos de depósito húmedo de polvo en zonas del SE y del Levante peninsular y de las islas baleares durante todo el día y en zonas del SO y del centro peninsular por la tarde.

A partir del mediodía también pueden producirse episodios de depósito seco de polvo en zonas del tercio norte peninsular.

Depósito húmedo de polvo (mg/m^2) predicho por el modelo Skiron para el día 13 de septiembre de 2019 a las 00 (izquierda) y a las 18 UTC (derecha). © Universidad de Atenas.



Depósito seco de polvo (mg/m^2) predicho por el modelo Skiron para el día 13 de septiembre de 2019 a las 12 (izquierda) y a las 18 UTC (derecha). © Universidad de Atenas.



Fecha de elaboración de la predicción: 12 de septiembre de 2019

Predicción elaborada por Pedro Salvador (CIEMAT)

Los datos son propiedad de la Dirección General de Calidad y Evaluación Ambiental, del Ministerio para la Transición Ecológica, y han sido obtenidos y se suministran en el marco del “Encargo del Ministerio para la Transición Ecológica a la Agencia Estatal Consejo Superior de Investigaciones Científicas para la detección de episodios naturales de aportes transfronterizos de partículas y otras fuentes de contaminación de material particulado, y de formación de ozono troposférico”.